

# Прогнозирование траекторий динамических систем на длительный период методами машинного обучения

Царев С.П.<sup>1</sup>

<sup>1</sup>Сибирский федеральный университет,  
Красноярск

Конференция «Геометрия, топология и математическая физика»  
памяти Сергея Петровича Новикова  
2025-06-05

## План:

- Мотивация & формализация:
  - ▶ требуется высокая точность (9-10 десятичных знаков);
  - ▶ богатство геометрических методов и методов машинного обучения

## План:

- Мотивация & формализация:
  - ▶ требуется высокая точность (9-10 десятичных знаков);
  - ▶ богатство геометрических методов и методов машинного обучения
- В данной лекции:
  - ▶ методы редукции размерности
  - ▶ sparse recovery & compressive sensing

## План:

- Мотивация & формализация:
  - ▶ требуется высокая точность (9-10 десятичных знаков);
  - ▶ богатство геометрических методов и методов машинного обучения
- В данной лекции:
  - ▶ методы редукции размерности
  - ▶ sparse recovery & compressive sensing
- <https://forum.mathmeth.ru>  
(Лекции по матем. методам в приложении к ГНСС, 2023 г.)

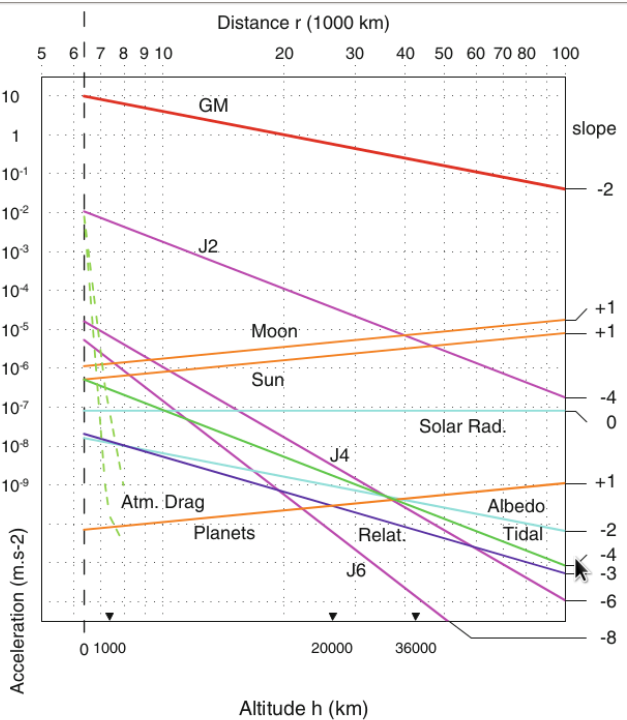
## План:

- Мотивация & формализация:
  - ▶ требуется высокая точность (9-10 десятичных знаков);
  - ▶ богатство геометрических методов и методов машинного обучения
- В данной лекции:
  - ▶ методы редукции размерности
  - ▶ sparse recovery & compressive sensing
- <https://forum.mathmeth.ru>  
(Лекции по матем. методам в приложении к ГНСС, 2023 г.)
- Вне рамок лекции:
  - ▶ Topological data analysis (TDA)
  - ▶ теория функций очень многих переменных и пространств очень большой размерности

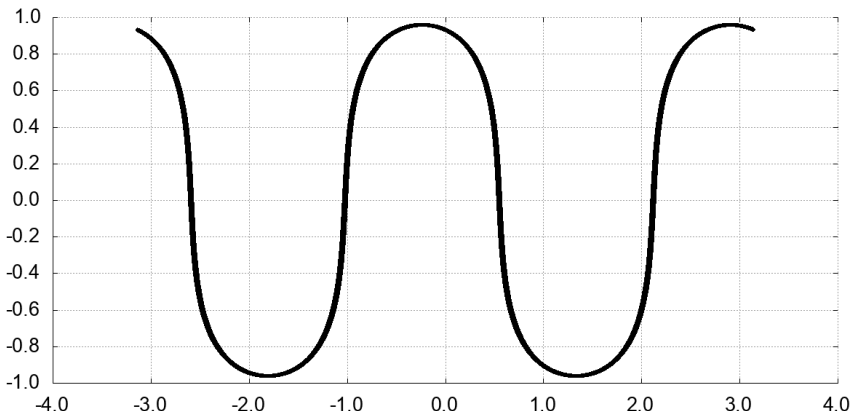
# Действующие на спутники силы и их эффект

Таблица 10.1  
Влияние различных факторов на движение НИСЗ

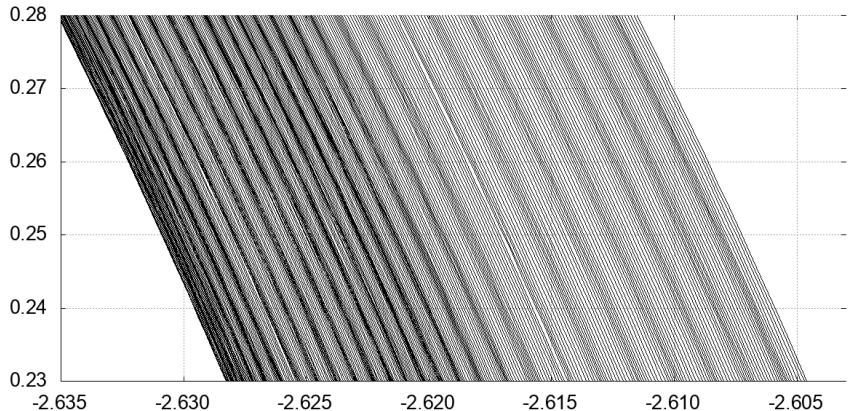
Возмущающие факторы	Максимальное возмущающее ускорение, м/с <sup>2</sup>	Максимальное возмущение за 1 <sup>h</sup> , м
Центральное поле Земли	$5,65 \cdot 10^{-1}$	—
Вторая зональная гармоника	$5,3 \cdot 10^{-6}$	300
Гравитация Луны	$5,5 \cdot 10^{-6}$	40
Гравитация Солнца	$3 \cdot 10^{-6}$	20
Четвертая зональная гармоника	$10^{-7}$	0,6
Солнечная радиация	$10^{-7}$	0,6
Гравитационные аномалии	$10^{-8}$	0,06
Другие силы	$10^{-8}$	0,06



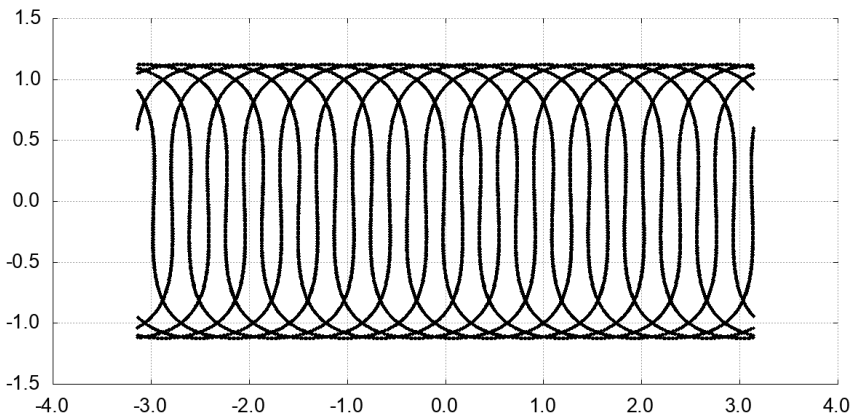
# Проекция орбиты G01 (GPS) на поверхность Земли (2013)



# Проекция орбиты G01 (GPS) (2013) в увеличенном виде



# Проекция орбиты R01 (GLONASS) на поверхность Земли (2013)



## Дискретизация траекторий и редукция размерности

## Дискретизация траекторий и редукция размерности

Сколько точек надо задать на суточном участке орбиты, чтобы можно было легко восстановить все промежуточные положения?

## Дискретизация траекторий и редукция размерности

Сколько точек надо задать на суточном участке орбиты, чтобы можно было легко восстановить все промежуточные положения?

Достаточно задать 96 точек (положения спутника через каждые 15 мин) — промежуточные восстанавливаются с точностью 1 мм полиномиальной интерполяцией по 12 соседним точкам.

## Дискретизация траекторий и редукция размерности

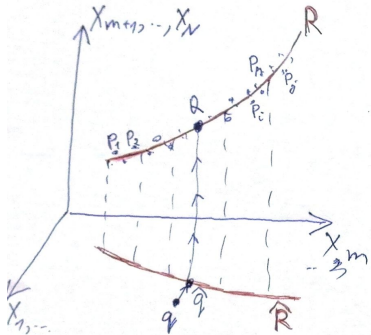
Сколько точек надо задать на суточном участке орбиты, чтобы можно было легко восстановить все промежуточные положения?

Достаточно задать 96 точек (положения спутника через каждые 15 мин) — промежуточные восстанавливаются с точностью 1 мм полиномиальной интерполяцией по 12 соседним точкам.

Простейшая идея редукции размерности:

- задать суточную траекторию как 288-мерный ( $288 = 96 \times 3$ ) вектор, соотв. недельный отрезок дает 2016-мерный вектор;
- рассмотреть множество таких «недельных векторов» за длительный период;
- Найти подмногообразие в  $\mathbb{R}^{2016}$  меньшей размерности, содержащее полученный набор точек (или очень близкое к нему);
- использовать для прогноза орбит на следующие несколько суток (недель, месяцев).

## Противопротекущий метод регулирования развертности



$X_1, \dots, X_m$  - координаты точек исходового (заданного) участка орбиты

$X_{m+1}, \dots, X_N$  - координаты точек противодействующего участка орбиты

$P_i$  - (с координатами  $X_1, \dots, X_m$ ) - точка, определяющая начало орбиты (начало + прогноз из SPЗ гармоник)

$R$  - регулируемое многодорожечное развертностю  
 $K < M$ , приближающее точку  $P_i$

$\hat{R}$  - проекция  $R$  на подпространство  $(X_1, \dots, X_m)$

$q$  - (коорд.  $q_1, \dots, q_m$ ) - исходящий участок орбиты, который хотим продолжить (противодействие)

$\hat{q}$  - ее проекция на  $\hat{R}$

$Q$  - обратное проекции  $\hat{q}$  на  $R$ , координаты  $Q_{m+1}, \dots, Q_N$  дают противодействие участку  $q$

## Простейшая редукция: метод главных компонент (линейный PCA), суточные траектории

размерность	max, км	СКО, км
10	4.402e-03	4.781e-04
15	5.351e-04	6.344e-05
20	5.712e-05	1.136e-05
25	9.410e-06	2.057e-06
30	4.219e-06	5.871e-07

## Простейшая редукция: метод главных компонент (линейный PCA), недельные траектории

размерность	max, км	СКО, км
10	4.872e-02	6.178e-03
15	1.122e-02	1.133e-03
20	1.103e-03	1.715e-04
25	2.752e-04	4.079e-05
30	7.680e-05	1.293e-05

Слабонелинейные подмногообразия,  
задание функций (очень) многих переменных  
и методы sparse recovery

Попробуем задать нелинейное подмногообразие, например полиномами  
многих переменных степени 2.

Слабонелинейные подмногообразия,  
задание функций (очень) многих переменных  
и методы sparse recovery

Попробуем задать нелинейное подмногообразие, например полиномами  
многих переменных степени 2.

Какое количество коэффициентов при этом необходимо найти —  
методом машинного обучения?

Слабонелинейные подмногообразия,  
задание функций (очень) многих переменных  
и методы sparse recovery

Попробуем задать нелинейное подмногообразие, например полиномами  
многих переменных степени 2.

Какое количество коэффициентов при этом необходимо найти —  
методом машинного обучения?

У нас НЕТ такого количества данных! (Хотя их немало)

Слабонелинейные подмногообразия,  
задание функций (очень) многих переменных  
и методы sparse recovery

Попробуем задать нелинейное подмногообразие, например полиномами  
многих переменных степени 2.

Какое количество коэффициентов при этом необходимо найти —  
методом машинного обучения?

У нас НЕТ такого количества данных! (Хотя их немало)

Выход: задавать лишь небольшое число ненулевых слагаемых в  
полиноме многих переменных.

Слабонелинейные подмногообразия,  
задание функций (очень) многих переменных  
и методы sparse recovery

Попробуем задать нелинейное подмногообразие, например полиномами  
многих переменных степени 2.

Какое количество коэффициентов при этом необходимо найти —  
методом машинного обучения?

У нас НЕТ такого количества данных! (Хотя их немало)

Выход: задавать лишь небольшое число ненулевых слагаемых в  
полиноме многих переменных.

Какие мономы отобрать для наилучшего приближения?

Слабонелинейные подмногообразия,  
задание функций (очень) многих переменных  
и методы sparse recovery

Попробуем задать нелинейное подмногообразие, например полиномами  
многих переменных степени 2.

Какое количество коэффициентов при этом необходимо найти —  
методом машинного обучения?

У нас НЕТ такого количества данных! (Хотя их немало)

Выход: задавать лишь небольшое число ненулевых слагаемых в  
полиноме многих переменных.

Какие мономы отобрать для наилучшего приближения?

Один из методов: sparse recovery.

Задача сводится к решению недоопределенной линейной системы на  
большое число неизвестных коэффициентов при мономах, так, чтобы  
лишь небольшое число неизвестных коэффициентов остались  
ненулевыми.

## Теоретическая постановка задачи (ver. 1)

Простейшая линейная система с числом уравнений, меньшим, чем число неизвестных, при условии, что лишь *небольшое* число неизвестных — ненулевые (но неизвестно, какие!):

$$\hat{A} \cdot x = b \quad (1)$$

## Теоретическая постановка задачи (ver. 1)

Простейшая линейная система с числом уравнений, меньшим, чем число неизвестных, при условии, что лишь *небольшое* число неизвестных — ненулевые (но неизвестно, какие!):

$$\hat{A} \cdot x = b \quad (1)$$

В практических приложениях, система должна решаться приближенно:

$$\|\hat{A} \cdot x - b\|_2 < \varepsilon \quad (2)$$

## Теоретическая постановка задачи (ver. 1)

Простейшая линейная система с числом уравнений, меньшим, чем число неизвестных, при условии, что лишь *небольшое* число неизвестных — ненулевые (но неизвестно, какие!):

$$\hat{A} \cdot x = b \quad (1)$$

В практических приложениях, система должна решаться приближенно:

$$\|\hat{A} \cdot x - b\|_2 < \varepsilon \quad (2)$$

Метод LASSO (1990-е) предлагает минимизировать  $L_1$ -норму искомого вектора  $x$ :

$$\begin{cases} x = \arg \min_x \sum_{i=1}^N |x_i|, & \text{при условии} \\ \|\hat{A} \cdot x - b\|_2 < \varepsilon \end{cases} \quad (3)$$

## Теоретическая постановка задачи (ver. 1)

Простейшая линейная система с числом уравнений, меньшим, чем число неизвестных, при условии, что лишь *небольшое* число неизвестных — ненулевые (но неизвестно, какие!):

$$\hat{A} \cdot x = b \quad (1)$$

В практических приложениях, система должна решаться приближенно:

$$\|\hat{A} \cdot x - b\|_2 < \varepsilon \quad (2)$$

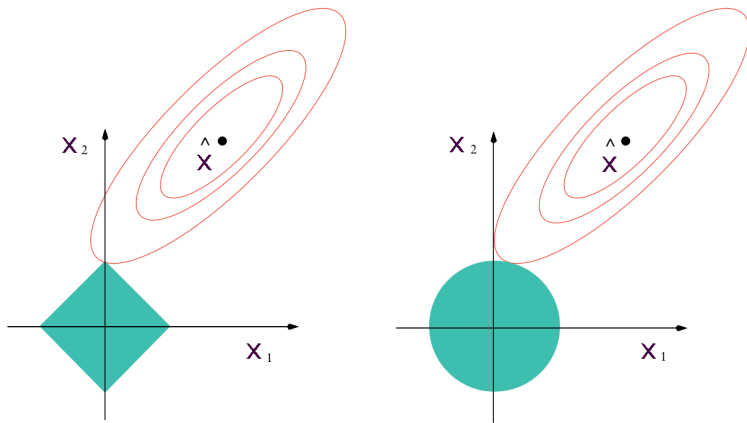
Метод LASSO (1990-е) предлагает минимизировать  $L_1$ -норму искомого вектора  $x$ :

$$\begin{cases} x = \arg \min_x \sum_{i=1}^N |x_i|, & \text{при условии} \\ \|\hat{A} \cdot x - b\|_2 < \varepsilon \end{cases} \quad (3)$$

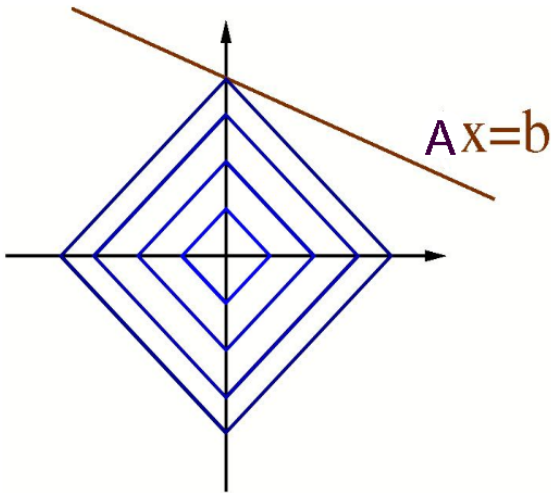
либо объединить оба условия:

$$x = \arg \min_x \left\{ \sum_{i=1}^N |x_i| + \lambda \cdot \|\hat{A} \cdot x - b\|_2 \right\} \quad (4)$$

## Геометрическая картина ( $2 \times 2$ ) (эффект разреженности для $L_1$ -нормы)



Геометрическая картина ( $1 \times 2$ )  
(эффект разреженности для  $L_1$ -нормы)



## Определения

**Задача (P0)** *NP-hard* !!

$$\begin{cases} x = \arg \min_x \{ \|x\|_0 = \#(x_k \neq 0) \}, & \text{при условии} \\ \hat{A} \cdot x = b \end{cases}$$

**Задача (P0 $\varepsilon$ )** *NP-hard* !!

$$\begin{cases} x = \arg \min_x \{ \|x\|_0 = \#(x_k \neq 0) \}, & \text{при условии} \\ \|\hat{A} \cdot x - b\|_2 < \varepsilon \end{cases}$$

**Задача (P1)**

$$\begin{cases} x = \arg \min_x \{ \|x\|_1 = \sum_{i=1}^N |x_i| \}, & \text{при условии} \\ \hat{A} \cdot x = b \end{cases}$$

**Задача (P1 $\varepsilon$ )**

$$\begin{cases} x = \arg \min_x \{ \|x\|_1 = \sum_{i=1}^N |x_i| \}, & \text{при условии} \\ \|\hat{A} \cdot x - b\|_2 < \varepsilon \end{cases}$$

## Теоретические результаты: Sparse Recovery and RIP

*Restricted Isometry Property of Order k* [Candès, Romberg, Tao (2006)]:  
Let  $\delta_k$  be the smallest number such that

$$(1 - \delta_k) \|x\|_2^2 \leq \|\hat{A}x\|_2^2 \leq (1 + \delta_k) \|x\|_2^2$$

for all  $k$ -sparse vectors  $x \in \mathbb{R}^n$  where  $\hat{A} = [a_1 \dots a_n] \in \mathbb{R}^{m \times n}$ .

Теорема (E.J.Candès (2008))

If  $\delta_{2k} < \sqrt{2} - 1$ , then for all  $k$ -sparse vectors  $x$  such that  $\hat{A}x = b$ , the solution of (P1) is equal to the solution of (P0).

## Упражнения

$L_2$  vs  $L_1$  в статистике: «средние» значения ( $dim = 1$ )

Пусть имеется выборка  $x_1, \dots, x_n$ .

$$x_{\text{average2}} = \arg \min_{x^*} \left\{ \sum_{i=1}^n (x_i - x^*)^2 \right\}$$

$x_{\text{average2}}$  — среднее арифметическое, неустойчива к «выбросам»

## Упражнения

$L_2$  vs  $L_1$  в статистике: «средние» значения ( $dim = 1$ )

Пусть имеется выборка  $x_1, \dots, x_n$ .

$$x_{\text{average}2} = \arg \min_{x^*} \left\{ \sum_{i=1}^n (x_i - x^*)^2 \right\}$$

$x_{\text{average}2}$  — среднее арифметическое, неустойчива к «выбросам»

$$x_{\text{average}1} = \arg \min_{x^*} \left\{ \sum_{i=1}^n |x_i - x^*| \right\}$$

$x_{\text{average}1}$  — медиана (почти...), устойчива к «выбросам»

## Упражнения

$L_2$  vs  $L_1$  в статистике: «средние» значения ( $dim = 1$ )

Пусть имеется выборка  $x_1, \dots, x_n$ .

$$x_{\text{average2}} = \arg \min_{x^*} \left\{ \sum_{i=1}^n (x_i - x^*)^2 \right\}$$

$x_{\text{average2}}$  — среднее арифметическое, неустойчива к «выбросам»

$$x_{\text{average1}} = \arg \min_{x^*} \left\{ \sum_{i=1}^n |x_i - x^*| \right\}$$

$x_{\text{average1}}$  — медиана (почти...), устойчива к «выбросам»

---

$x_{\text{average2}}$ : линейная оценка,  $x_{\text{average1}}$ : нелинейная.

# Пример приложения Compressive sensing (томография)

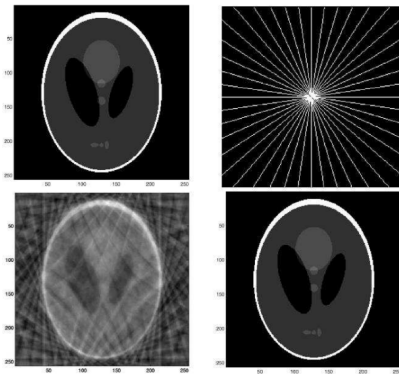


Figure 1: When Fourier coefficients of a testbed medical image known as the Logan-Shepp phantom (top left) are sampled along 22 radial lines in the frequency domain (top right), a naive, “minimal energy” reconstruction setting unobserved Fourier coefficients to 0 is marred by artifacts (bottom left).  $\ell_1$ -reconstruction (bottom right) is exact.

## Пример приложения Compressive sensing (томография)

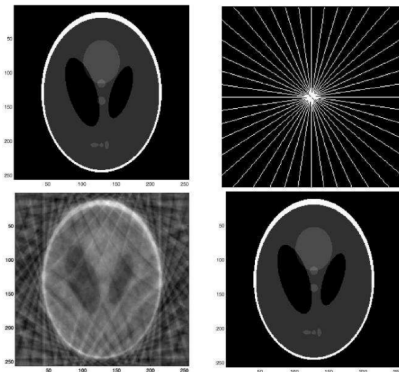
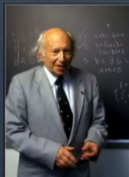


Figure 1: When Fourier coefficients of a testbed medical image known as the Logan-Shepp phantom (top left) are sampled along 22 radial lines in the frequency domain (top right), a naive, “minimal energy” reconstruction setting unobserved Fourier coefficients to 0 is marred by artifacts (bottom left).  $\ell_1$ -reconstruction (bottom right) is exact.

Размерность вектора данных (количество пикселей):  $> 10^5$  !!

# Лекция D.Donoho (премия Гаусса 2018)

## Geometric Functional Analysis



IM Gel'fand



Boris Kashin



Holger Rauhut

$$d^n(B, X) = \inf_{\dim(V)=n} \sup_{x \in B \cap V} \|x\|_X$$

$$d^n(B_{\ell_p^N}, \ell_2^N) \asymp \sqrt{\frac{\log(n)}{n}}$$

$$d^n(B_{\ell_p^N}, \ell_2^N) \asymp \left( \frac{\log(N)}{n} \right)^{1/2 - 1/p}$$

$$0 < p < 2$$

# Лекция D.Donoho (премия Гаусса 2018)

## Geometric Functional Analysis



IM Gel'fand



Boris Kashin



Holger Rauhut

$$d^n(B, X) = \inf_{\dim(V)=n} \sup_{x \in B \cap V} \|x\|_X$$

$$d^n(B_{\ell_p^N}, \ell_2^N) \asymp \sqrt{\frac{\log(n)}{n}}$$

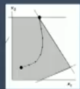
$$d^n(B_{\ell_p^N}, \ell_2^N) \asymp \left( \frac{\log(N)}{n} \right)^{1/2 - 1/p}$$

$$0 < p < 2$$

Achtung:  $0 < p < 2$  !!

# Лекция D.Donoho (премия Гаусса 2018)

## Optimization



Arkadi Nemirovsky



Yuri  Nesterov



Daubechies



De Frise



De Mol

## Теоретическая постановка задачи (вер. 2)

### Проблема построения CS-матрицы

Для неизвестного многомерного разреженного вектора  $x$  найти хорошую «матрицу измерений»  $\hat{A} \in \mathbb{R}^{m \times n}$  с малым  $m$  такую, что по имеющимся «измерениям»  $\hat{A}x = b$ , решая разреженную задачу можно найти  $x$ .

## Теоретическая постановка задачи (вер. 2)

### Проблема построения CS-матрицы

Для неизвестного многомерного разреженного вектора  $x$  найти хорошую «матрицу измерений»  $\hat{A} \in \mathbb{R}^{m \times n}$  с малым  $m$  такую, что по имеющимся «измерениям»  $\hat{A}x = b$ , решая разреженную задачу можно найти  $x$ .

Известные конструкции: случайные матрицы (!!!) дают  $k \leq Cm/\log(n/m)$ .

#### Теорема (Candès-Romberg-Tao, 2004)

Пусть  $\xi_1, \dots, \xi_m \in \{1, \dots, n\}$  выбраны случайно. Тогда с высокой вероятностью каждый  $k$ -разреженный сигнал  $f : \{1, \dots, n\} \rightarrow \mathbb{C}$  может быть восстановлен из  $\hat{f}(\xi_1), \dots, \hat{f}(\xi_m)$ , если  $m > Ck \log n$  для некоторой абсолютной константы  $C$ .

Численные эксперименты показывают, что на практике большинство  $k$ -разреженных сигналов фактически восстанавливаются примерно при  $m \geq 4k$ .

## Теоретическая постановка задачи (вер. 2)

Пример «хорошой» случайной CS-матрицы:

### Лемма (Лемма Джонсона-Линденштрауса (вер. 1))

Даны  $\varepsilon \in (0, 1)$ , множество  $X$  из  $m$  точек в  $\mathbb{R}^N$  и целое число  $n$ , такое что  $n > C \ln m / \varepsilon^2$ , тогда существует линейное отображение (случайная ортогональная проекция)  $\Phi : \mathbb{R}^N \rightarrow \mathbb{R}^n$  такое, что

$$(1 - \varepsilon) \|u - v\|_2 \leq \|\Phi(u) - \Phi(v)\|_2 \leq (1 + \varepsilon) \|u - v\|_2, \quad \forall u, v \in X.$$

### Лемма (Лемма Джонсона-Линденштрауса (вер. 2))

Для любого целого числа  $d > 0$  и любых  $0 < \varepsilon, \delta < 1/2$  существует распределение вероятностей на  $k \times d$  действительных матрицах для  $k = \Theta(\varepsilon^{-2} \log(1/\delta))$  такое, что для любого  $x \in \mathbb{R}^d$  с  $\|x\|^2 = 1$ ,

$$\text{Probs}[\|\Phi(x)\|_2^2 - 1] > \varepsilon] < \delta.$$

## Насколько хороши случайные матрицы?

Мысленный эксперимент: при заданном  $m$  попробуем максимально увеличить  $n$ , выбирая случайные векторы. Два таких столбца практически ортогональны: корреляция (= скал. произведение) мала. Редкие случайно коррелирующие столбцы отбрасываем.

## Насколько хороши случайные матрицы?

Мысленный эксперимент: при заданном  $m$  попробуем максимально увеличить  $n$ , выбирая случайные векторы. Два таких столбца практически ортогональны: корреляция (= скал. произведение) мала. Редкие случайно коррелирующие столбцы отбрасываем.

С точки зрения (наивной) статистики, такой процесс наращивания  $n$  бесконечен ... Что противоречит (наивной) геометрии: количество почти ортогональных векторов в  $\mathbb{R}^m$  конечно.

## Насколько хороши случайные матрицы?

Мысленный эксперимент: при заданном  $m$  попробуем максимально увеличить  $n$ , выбирая случайные векторы. Два таких столбца практически ортогональны: корреляция (= скал. произведение) мала. Редкие случайно коррелирующие столбцы отбрасываем.

С точки зрения (наивной) статистики, такой процесс наращивания  $n$  бесконечен ... Что противоречит (наивной) геометрии: количество почти ортогональных векторов в  $\mathbb{R}^m$  конечно.

Статистика плохо работает при очень больших выборках?  
Или есть пояснение причины этого парадокса?

## Насколько хороши случайные матрицы?

Мысленный эксперимент: при заданном  $m$  попробуем максимально увеличить  $n$ , выбирая случайные векторы. Два таких столбца практически ортогональны: корреляция (= скал. произведение) мала. Редкие случайно коррелирующие столбцы отбрасываем.

С точки зрения (наивной) статистики, такой процесс наращивания  $n$  бесконечен ... Что противоречит (наивной) геометрии: количество почти ортогональных векторов в  $\mathbb{R}^m$  конечно.

Статистика плохо работает при очень больших выборках?

Или есть пояснение причины этого парадокса?

А насколько велико количество почти ортогональных векторов в  $\mathbb{R}^m$ ?

## Насколько хороши случайные матрицы?

Мысленный эксперимент: при заданном  $m$  попробуем максимально увеличить  $n$ , выбирая случайные векторы. Два таких столбца практически ортогональны: корреляция (= скал. произведение) мала. Редкие случайно коррелирующие столбцы отбрасываем.

С точки зрения (наивной) статистики, такой процесс наращивания  $n$  бесконечен ... Что противоречит (наивной) геометрии: количество почти ортогональных векторов в  $\mathbb{R}^m$  конечно.

Статистика плохо работает при очень больших выборках?  
Или есть пояснение причины этого парадокса?

А насколько велико количество почти ортогональных векторов в  $\mathbb{R}^m$ ?

Парадоксальный недавний результат:

Количество векторов единичной длины в  $\mathbb{R}^m$ , скал. произведения которых по модулю не более заданного малого  $\delta$ , экспоненциально растет при увеличении  $m$ :

Kainen, Paul C., and Věra Kůrková.

Quasiorthogonal dimension of Euclidean spaces. Applied math letters, 6(3) (1993), p. 7–10.

Обработка сигналов и изображений, сверхразрешение и т. д. (версия 3, 4, ..., N)

**Актуальная проблема:** *Детерминированное построение CS-матриц: поперечники Гельфанда, ...*

Обработка сигналов и изображений, сверхразрешение и т. д. (версия 3, 4, ..., N)

**Актуальная проблема:** Детерминированное построение CS-матриц: поперечники Гельфанда, ...

«Преодоление предела Найквиста-Котельникова», сверхразрешение и повышение резкости изображений, ...

## Обработка сигналов и изображений, сверхразрешение и т. д. (версия 3, 4, ..., N)

**Актуальная проблема:** Детерминированное построение CS-матриц: поперечники Гельфанда, ...

«Преодоление предела Найквиста-Котельникова», сверхразрешение и повышение резкости изображений, ...

**Пример:** the twelve coins puzzle:

имея двенадцать монет, одна из которых фальшивая (и, следовательно, тяжелее или легче других), можно определить фальшивую монету всего за три взвешивания, взвешивая монеты в надлежащим образом выбранных партиях.

Ключевым моментом является то, что поддельные монеты — разрежены (в ряду настоящих)!

## Обработка сигналов и изображений, сверхразрешение и т. д. (версия 3, 4, ..., N)

**Актуальная проблема:** Детерминированное построение CS-матриц: поперечники Гельфанда, ...

«Преодоление предела Найквиста-Котельникова», сверхразрешение и повышение резкости изображений, ...

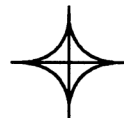
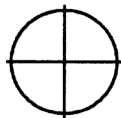
**Пример:** the twelve coins puzzle:

имея двенадцать монет, одна из которых фальшивая (и, следовательно, тяжелее или легче других), можно определить фальшивую монету всего за три взвешивания, взвешивая монеты в надлежащим образом выбранных партиях.

Ключевым моментом является то, что поддельные монеты — разрежены (в ряду настоящих)!

Как найти «хорошую матрицу взвешиваний» ( $a_{ij} \in \{0,1\}$ ) с небольшим  $t$  и большим  $n$ . (OTK на массовом производстве)?

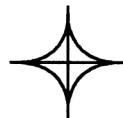
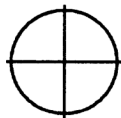
## Невыпуклые задачи (ver. $N+1, N+2, \dots$ )



Задача  $(P_p^\varepsilon)$ ,  $0 < p < 1$

$$\begin{cases} x = \arg \min_x \{ \|x\|_p = \sum_{i=1}^N |x_i|^p \}, & \text{restricted by} \\ \|\hat{A} \cdot x - b\|_2 < \varepsilon \end{cases}$$

## Невыпуклые задачи (ver. $N+1, N+2, \dots$ )



Задача  $(P_p^\varepsilon)$ ,  $0 < p < 1$

$$\begin{cases} x = \arg \min_x \{ \|x\|_p = \sum_{i=1}^N |x_i|^p \}, & \text{restricted by} \\ \|\hat{A} \cdot x - b\|_2 < \varepsilon \end{cases}$$

Задача  $(TV_p^\varepsilon)$ ,  $0 < p \leq 1$  для *total variation* (полней вариации)

$$\begin{cases} x = \arg \min_x \{ TV_p(x) = \sum_{i=1}^{N-1} |x(t_{i+1}) - x(t_i)|^p \}, & \text{restricted by} \\ \|\hat{A} \cdot x - b\|_2 < \varepsilon \end{cases}$$

Эта задача очень популярна при сегментации изображений, поиске и сглаживании резких границ и т. д.

## References

-  Rudin L, Osher S, Fatemi E. *Nonlinear total variation based noise removal algorithms* // Physica D: nonlinear phenomena. 1992 Nov 1;60(1-4):259-68.
-  Hastie, T., Tibshirani, R., Wainwright, M. *Statistical learning with sparsity: The Lasso and generalizations*. (2015).
-  Donoho D.L. *Compressed sensing* // IEEE Trans Inform Theory, v. 52, 1289–1306. 2006.
-  Candes E.J., Romberg J.K., Tao T. *Stable signal recovery from incomplete and inaccurate measurements* // Comm Pure Appl Math, 2006. v. 59. No. 8. 1207–1223.
-  Candes EJ, Fernandez-Granda C. *Super-resolution from noisy data* // J Fourier Anal Appl. 2013, 1229–54
-  А.С. Пустошилов, С.П. Царев *Обнаружение разрывов в фазовых измерениях одночастотных навигационных приемников при различной нестабильности опорных генераторов* // Ural Radio Engineering Journal. 2021. No 5(2). С. 144–161.